

МЕХАНИКА  
ТВЕРДОГО ТЕЛА  
№ 1 • 1994

УДК 539.3

© 1994 г. П. А. ЗИНОВЬЕВ, А. А. СМЕРДОВ

ПРЕДЕЛЬНЫЕ ВОЗМОЖНОСТИ  
МНОГОСЛОЙНЫХ КОМПОЗИТНЫХ СТРУКТУР

Рассматриваются свойства многослойных композитных структур. Для простоты рассмотрение ограничено плоской задачей. Используется структурно-феноменологический подход [1], основанный на феноменологическом описании свойств наименьшего рассматриваемого элемента структуры (однонаправленного или перекрестно армированного монослоя) и численном формировании свойств многослойного пакета исходя из свойств материалов составляющих его слоев. Для данной расчетной модели приведены конкретные примеры построения поверхностей предельных возможностей.

1. Поверхность предельных возможностей. Свойства любого материала с фиксированной структурой при заданных внешних условиях могут быть охарактеризованы набором констант, свойства материала с варьируемой структурой — набором функциональных зависимостей. Зависимости между предельными значениями различных свойств могут быть представлены в виде поверхностей предельных возможностей в многомерных пространствах требований к свойствам композитных структур. Поверхность предельных возможностей соответствует оптимальным сочетаниям варьируемых параметров структуры и отделяет область с доступными значениями характеристик структуры от точек с сочетаниями требований, которые не могут быть реализованы ни при каких значениях варьируемых параметров.

Произвольная многослойная структура может быть описана вектором варьируемых параметров  $\mathbf{X} = \{x_1, x_2, \dots, x_n\}^T$ , компонентами которого являются параметры армирования этой структуры. Число и вид этих параметров зависят от типа структуры и используемых расчетных моделей. Например, в рассматриваемом случае вектор варьируемых параметров включает в себя толщины и углы ориентации отдельных слоев многослойной структуры.

Задача исследования предельных значений некоторой совокупности свойств композитной структуры относится к классу задач векторной оптимизации [2]. При векторной оптимизации вектору варьируемых параметров  $\mathbf{X}$  ставится в соответствие вектор локальных критериев эффективности  $\mathbf{Y} = \{y_1, y_2, \dots, y_m\}^T$ , компонентами которого являются различные свойства объекта. В общем случае к каждому из этих свойств могут предъявляться различные требования (стремление к минимуму, максимуму, к определенному значению и т. д.).

Наиболее распространенным путем постановки и решения векторной задачи оптимизации является сведение ее к скалярной задаче путем свертки вектора локальных критериев эффективности в обобщенный скалярный критерий качества:

$$F[\mathbf{Y}(\mathbf{X})] = F[y_1(\mathbf{X}), y_2(\mathbf{X}), \dots, y_m(\mathbf{X})] \rightarrow \text{extr}$$

Правила осуществления этой свертки определяются на этапе формулировки задачи оптимизации [3]. Результатом решения такой задачи обычно является единственное решение  $\mathbf{X}^*$ , обладающее совокупностью свойств, которая наилуч-

шим образом отвечает требованиям, установленным при формулировке векторной задачи.

Другой подход в векторной оптимизации связан с выделением из исходного множества проектов более узкого множества — области компромиссов (область решений, оптимальных по Парето) [2].

Область компромиссов  $\Gamma_x$  определяется как подмножество допустимого множества решений  $D_x$ , обладающее тем свойством, что все принадлежащие ему решения не могут быть улучшены одновременно по всем локальным критериям эффективности:

$$\Gamma_x = \{X : X \in D_x, \quad \{X' : \forall i y_i(X') > y_i(X)\} \cap D_x = \emptyset\}. \quad (1.1)$$

(последнее выражение записано для случая, когда каждый из локальных критериев эффективности  $y_i(X)$  должен быть максимизирован).

Построение области компромиссов реально в тех случаях, когда допустимое множество решений  $D_x$  конечно, либо если возможно аналитическое исследование оптимизационной задачи. При исследовании оптимальных многослойных композитных структур эти условия, как правило, не выполняются. В этих случаях исследование предельных возможностей многослойных структур может быть проведено с помощью тактики гибких приоритетов. Смысл тактики гибких приоритетов заключается в сведении задачи векторной оптимизации (1.1) к некоторой последовательности скалярных задач с различными целевыми функциями и ограничениями, выбираемыми из компонент вектора  $Y$ , с последующим исследованием зависимости значений выбранных целевых функций от уровней ограничений каждой скалярной задачи.

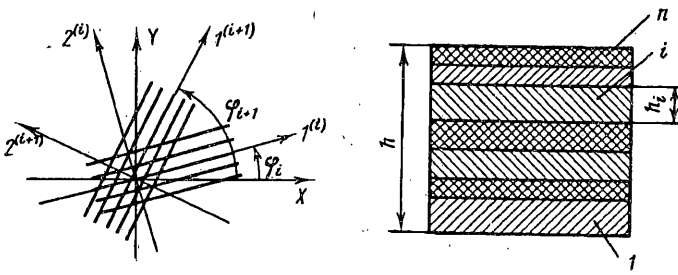
Процесс исследования оптимальных конструкций с помощью тактики гибких приоритетов может выглядеть следующим образом. На первом этапе из вектора  $Y$  выбирается один (любой) критерий  $y_i$ . Этот критерий используется в качестве целевой функции при решении последовательности скалярных задач, в которых на все остальные компоненты вектора  $Y$  накладываются различные ограничения

$$y_i(X) \rightarrow \text{extr}; \quad \forall j \neq i \begin{cases} y_j(X) \leq A_j^{(k)}, & \text{если } y_j \rightarrow \min \\ y_j(X) \geq A_j^{(k)}, & \text{если } y_j \rightarrow \max \end{cases} \quad (1.2)$$

где  $k$  — номер решаемой скалярной задачи. Результатом такого процесса является построение зависимостей экстремальных значений критерия  $y_i$  от предельно допустимых величин остальных критериев.

На последующих этапах исследование (1.2) повторяется для других экстремальных критериев  $y_l$  ( $l \neq i$ ). Сравнение полученных зависимостей позволяет уточнить связь между предельными характеристиками композитной структуры. Процесс анализа оптимальных конструкций с переменными целевыми функциями и ограничениями может быть продолжен до тех пор, пока не будут окончательно прояснены связи между всеми интересующими исследователя свойствами структуры в ее оптимальных вариантах.

Результатом использования тактики гибких приоритетов является построение поверхности предельных возможностей, которая строится в пространстве требований, предъявляемых к каждому из свойств проектируемого объекта. Ограниченная поверхностью предельных возможностей область  $m$ -мерного пространства ( $m$  — число свойств структуры, к которым предъявляются те или иные требования) соответствует возможным реализациям свойств различных конструктивных вариантов. Некоторые из точек этой области соответствуют единственному набору конструктивных параметров, другие допускают множество вариантов конструкции, проявляющих одну и ту же совокупность свойств. Могут существовать точки поверхности предельных возможностей, не соответствующие какой-либо реальной конструкции. С уверенностью можно утверждать лишь то, что существуют структуры, проявляющие совокупность свойств, величина каждого



Фиг. 1

из которых не хуже (не более или не менее, в зависимости от конкретных требований), чем координата соответствующей точки поверхности. Не могут быть созданы объекты, набор свойств которых находится вне области, ограниченной поверхностью предельных возможностей.

**2. Свойства многослойных структур.** Каждое из свойств многослойной структуры может быть записано как функция толщин и углов армирования отдельных слоев (при заданных характеристиках материалов этих слоев):

$$G_k(\mathbf{X}) = G_k(h_i^{(0)}, \varphi_i) \quad (k = 1, 2, \dots, m; i = 1, 2, \dots, n)$$

где  $m$  — число учитываемых свойств конструкции,  $n$  — число оригинальных слоев, отличающихся друг от друга характеристиками материала и (или) его ориентацией,  $\varphi_i$  — угол ориентации  $i$ -го слоя,  $h_i^{(0)}$  — относительная толщина этого слоя (фиг. 1,  $h_i^{(0)} = h_i/h$ ).

Ниже рассмотрены алгоритмы определения наиболее часто учитываемых свойств ортотропных многослойных композитных структур.

**2.1. Характеристики жесткости.** Матрица жесткости многослойной ортотропной структуры

$$\| G_{xy} \| = \begin{vmatrix} g_{xx} & g_{xy} & 0 \\ g_{yx} & g_{yy} & 0 \\ 0 & 0 & g_{ss} \end{vmatrix}$$

вычисляется в предположении об идеальности связи слоев [4]:

$$\| G_{xy} \| = \sum_{l=1}^n h_l^{(0)} \| T^{(l)} \| \| G_{12}^{(l)} \| \| T^{(l)} \| ^T \quad (2.1)$$

$$\| G_{12}^{(l)} \| = \begin{vmatrix} \frac{E_1^{(l)}}{1 - V_{12}^{(l)} V_{21}^{(l)}} & \frac{V_{12}^{(l)} E_2^{(l)}}{1 - V_{12}^{(l)} V_{21}^{(l)}} & 0 \\ \frac{V_{21}^{(l)} E_1^{(l)}}{1 - V_{12}^{(l)} V_{21}^{(l)}} & \frac{E_2^{(l)}}{1 - V_{12}^{(l)} V_{21}^{(l)}} & 0 \\ 0 & 0 & G_{12}^{(l)} \end{vmatrix} \quad (2.2)$$

$$\| T^{(l)} \| = \begin{vmatrix} \cos^2 \varphi_l & \sin^2 \varphi_l & -2 \sin \varphi_l \cos \varphi_l \\ \sin^2 \varphi_l & \cos^2 \varphi_l & 2 \sin \varphi_l \cos \varphi_l \\ \sin \varphi_l \cos \varphi_l & -\sin \varphi_l \cos \varphi_l & \cos^2 \varphi_l - \sin^2 \varphi_l \end{vmatrix} \quad (2.3)$$

где  $\| G_{12}^{(l)} \|$  — матрица жесткости  $i$ -го слоя в естественной системе координат этого слоя  $(1, 2)^{(l)}$ ,  $\| T^{(l)} \|$  — матрица преобразования координат при переходе от осей  $i$ -го слоя к осям многослойного пакета.

**2.2. Термоупругие свойства.** Для однонаправленного слоя, находящегося в

условиях плоского напряженного состояния и температурного воздействия, справедливы физические соотношения термоупругости [5]:  $\{\sigma_{ij}^{(0)}\} = \|G_{ij}^{(0)}\| \times \times \{\epsilon_{ij}^{(0)}\} - \{\beta_{ij}^{(0)}\} T$ , где  $\{\sigma_{ij}^{(0)}\}$  — вектор действующих напряжений в осях  $i$ -го слоя,  $\{\epsilon_{ij}^{(0)}\}$  — вектор полных деформаций в осях этого слоя,  $T$  — изменение температуры относительно начального ненагруженного состояния,  $\|G_{ij}^{(0)}\|$  — матрица жесткости (2.2),  $\{\beta_{ij}^{(0)}\} = \{\beta_1^{(0)}, \beta_2^{(0)}, 0\}^T$  — вектор коэффициентов термических напряжений  $i$ -го слоя

$$\beta_1^{(0)} = \frac{E_1^{(0)}}{1 - v_{12}^{(0)}v_{21}^{(0)}} (\alpha_1^{(0)} + v_{21}^{(0)}\alpha_2^{(0)}) \quad (1 \leftrightarrow 2)$$

В последних выражениях  $\alpha_1^{(0)}$ ,  $\alpha_2^{(0)}$  — температурные коэффициенты линейного расширения  $i$ -го слоя.

Коэффициенты термического линейного расширения многослойной ортотропной структуры  $\alpha_x$ ,  $\alpha_y$  вычисляются по формулам  $\alpha_x = (\beta_x - v_{xy}\beta_y)/E_x$  ( $x \leftrightarrow y$ ), где  $E_x$ ,  $E_y$ ,  $v_{xy}$ ,  $v_{yx}$  — технические константы жесткости многослойной структуры, а величины  $\beta_x$ ,  $\beta_y$  представляют собой коэффициенты термических напряжений структуры и определяются согласно зависимостям

$$\beta_x = \sum_{i=1}^n h_i^{(0)} (\beta_1^{(0)} \cos^2 \varphi_i + \beta_2^{(0)} \sin^2 \varphi_i) \quad (x \leftrightarrow y, \quad 1 \leftrightarrow 2)$$

**2.3. Характеристики теплопроводности.** Теплопроводность ортотропного монослоя в плоскости (1,2)<sup>(0)</sup> характеризуется двумя коэффициентами теплопроводности  $\lambda_1^{(0)}$  и  $\lambda_2^{(0)}$ . Коэффициенты теплопроводности многослойной ортотропной структуры  $\lambda_x$  и  $\lambda_y$  могут быть определены по формулам [6]:

$$\lambda_x = \sum_{i=1}^n h_i^{(0)} (\lambda_1^{(0)} \cos^2 \varphi_i + \lambda_2^{(0)} \sin^2 \varphi_i) \quad (x \leftrightarrow y, \quad 1 \leftrightarrow 2)$$

**2.4. Диссипативные характеристики.** Демпфирующие свойства однонаправленного материала могут быть охарактеризованы матрицей упруго-диссипативных характеристик монослоя [7]:

$$\|\Psi_{12}^{(0)}\| = \begin{vmatrix} \psi_1^{(0)}/E_1^{(0)} & -v_{12}^{(0)}\psi_1^{(0)}/E_1^{(0)} & 0 \\ -v_{21}^{(0)}\psi_1^{(0)}/E_2^{(0)} & \psi_2^{(0)}/E_2^{(0)} & 0 \\ 0 & 0 & \psi_{12}^{(0)}/G_{12}^{(0)} \end{vmatrix}$$

где  $\psi_1^{(0)}$ ,  $\psi_2^{(0)}$ ,  $\psi_{12}^{(0)}$  — технические константы демпфирования монослоя в главных осях (1,2)<sup>(0)</sup>.

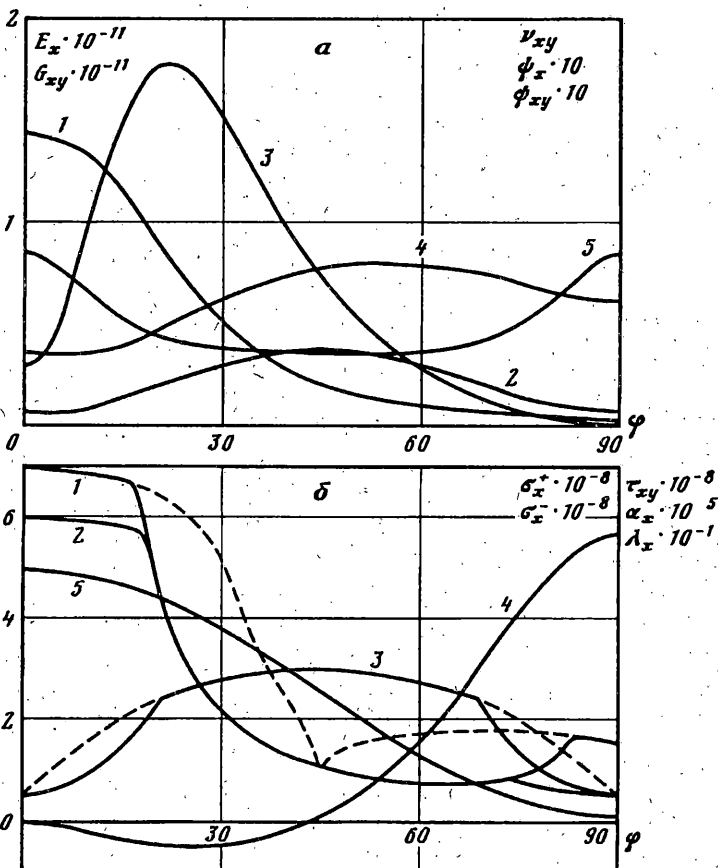
Матрица упруго-диссипативных характеристик многослойной структуры определяется согласно зависимости

$$\|\Psi_{xy}\| = \|G_{xy}\|^{-1} \left( \sum_{i=1}^n h_i^{(0)} \|T^{(0)}\| \|G_{12}^{(0)}\| \|\Psi_{12}^{(0)}\| \|G_{12}^{(0)}\| \|T^{(0)}\|^T \right) \|G_{xy}\|^{-1} \quad (2.4)$$

где матрица жесткости многослойного материала  $\|G_{xy}\|$  определяется согласно (2.1), а матрица преобразования координат  $i$ -го слоя  $\|T^{(0)}\|$  — согласно (2.3);  $\|G_{12}^{(0)}\|$  — матрица жесткости  $i$ -го слоя, вычисленная в осях этого слоя (2.2).

Матрица упруго-диссипативных характеристик ортотропной структуры, вычисленная согласно (2.4), имеет вид

$$\|\Psi_{xy}\| = \begin{vmatrix} \psi_{xx} & \psi_{xy} & 0 \\ \psi_{yx} & \psi_{yy} & 0 \\ 0 & 0 & \psi_{ss} \end{vmatrix} \quad (2.5)$$



Фиг. 2.

Технические константы демпфирования многослойного ортотропного пакета выражаются через коэффициенты матрицы (2.5) следующим образом:  $\psi_x = \psi_{xx}E_x$ ,  $\psi_y = \psi_{yy}E_y$ ,  $\psi_s = \psi_{ss}G_{xy}$ , где  $E_x$ ,  $E_y$  и  $G_{xy}$  — технические константы жесткости многослойного материала.

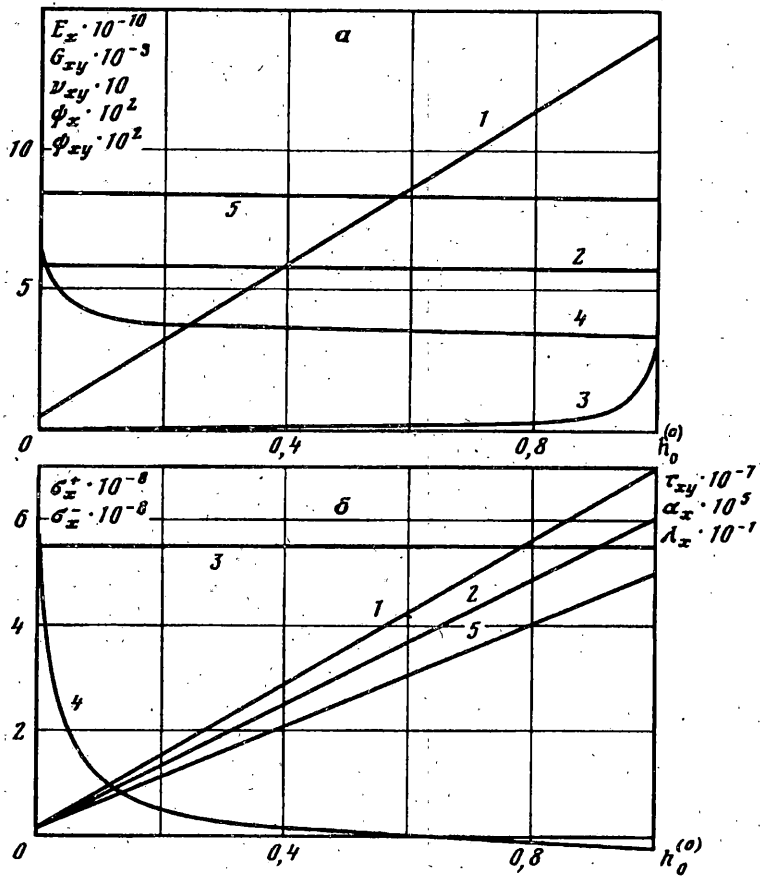
**2.5. Характеристики прочности.** В соответствии с принятым структурно-феноменологическим подходом [1] критерий сохранения несущей способности  $i$ -го слоя структуры принимается в виде

$$-F_{-1}^{(i)} < \sigma_1^{(i)} < F_{+1}^{(i)}, \quad -F_{-2}^{(i)} < \sigma_2^{(i)} < F_{+2}^{(i)}, \quad |\tau_{12}^{(i)}| < F_{12}^{(i)}$$

где  $F$  — соответствующие пределы прочности, а индексы плюс и минус означают растяжение и сжатие. Несмотря на свою простоту, критерий максимальных напряжений во многих случаях с достаточной точностью описывает поведение одионаправленного композита.

Для многослойных композитов, составленных из различно ориентированных монослоев, разрушение обычно начинается с образования трещин в материале матрицы некоторого слоя [8]; для композитов с хрупкой матрицей это явление принято называть первым разрушением слоя [1; 3, 5]. Для описания последующего поведения многослойной структуры может быть использована модель поведения одионаправленного слоя в составе многослойного пакета [1].

В соответствии с данной моделью, кроме двух естественных состояний материала слоя — начального (монолитный линейно упругий материал) и конечного (материал разрушен), выделяются шесть промежуточных состояний,



Фиг. 3

характеризующих материал с трещинами в связующем. Эти состояния могут быть описаны с помощью параметров эффективной жесткости материала  $\xi_1^{(0)}$ ,  $\xi_{12}^{(0)}$ , которые определяются отношением текущих значений касательных модулей упругости материала слоя к их начальным значениям. Параметры эффективной жесткости вычисляются в зависимости от знака напряжений  $\sigma_2^{(0)}$ , величин деформаций  $\varepsilon_2^{(0)}$ ,  $|\gamma_{12}^{(0)}|$  и знаков их приращений [1].

Параметры эффективной жесткости используются при формировании текущей матрицы жесткости слоя, связывающей приращения напряжений и деформаций в слое:

$$\begin{Bmatrix} \Delta \varepsilon_1 \\ \Delta \varepsilon_2 \\ \Delta \tau_{12} \end{Bmatrix} = \frac{1}{1 - \nu_{12} \nu_{21}} \begin{vmatrix} E_1 \xi_1 & \nu_{12} E_2 \xi_2 & 0 \\ \nu_{21} E_1 \xi_2 & E_2 \xi_2 & 0 \\ 0 & 0 & (1 - \nu_{12} \nu_{21}) G_{12} \xi_{12} \end{vmatrix} \begin{Bmatrix} \Delta \varepsilon_1 \\ \Delta \varepsilon_2 \\ \Delta \gamma_{12} \end{Bmatrix}$$

На основе изложенной модели построен алгоритм пошагового нагружения с изменением на каждом шаге матрицы жесткости многослойной структуры. При необходимости матрицы жесткости уточняются с использованием итерационной процедуры. Вычисляемые предельные напряжения соответствуют исчерпанию несущей способности многослойного пакета.

Фиг. 2 и 3 иллюстрируют рассмотренные свойства для простейших композитных структур — перекрестно армированных  $[\pm \varphi]$  и ортогонально армированных  $[0_n/90_m]$  ( $h_0^{(0)}$  — относительная толщина осевых слоев). Кривые 1—5 на фиг. 2,  $\alpha$

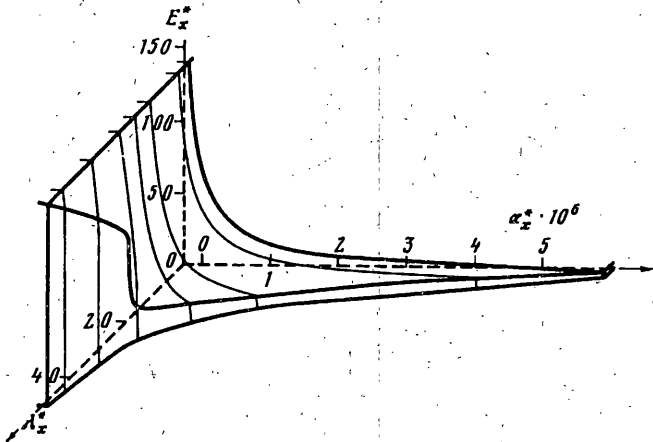
	(1)	(2)	(12)
$E$	142	4	5,9
$\nu$	0,29	$8,2 \cdot 10^{-3}$	—
$\sigma^+$	700	61	—
$\sigma^-$	600	165	—
$\tau$	—	—	55
$\psi$	0,035	0,064	0,084
$\alpha$	$-1,12 \cdot 10^{-6}$	$57,34 \cdot 10^{-6}$	—
$\lambda$	50	1,5	—

соответствуют  $E_x$  [ГПа],  $G_{xy}$  [ГПа],  $v_{xy}$ ,  $\psi_x$ ,  $\psi_{xy}$ , а на фиг. 2,  $b$  —  $\sigma_x^+$  [МПа],  $\sigma_x^-$  [МПа],  $\tau_{xy}$  [МПа],  $\alpha_x$  [ $K^{-1}$ ],  $\lambda_x$  [Вт/м/К]. Штриховыми линиями на фиг. 2, (b) показаны предельные значения напряжений при нелинейном деформировании, сплошными линиями — напряжения первого разрушения многослойной структуры. Графики свойств в поперечном направлении симметричны приведенным. Номера кривых на фиг. 2 и 3 совпадают. Свойства одностороннего материала, являвшегося исходным при проектировании этих структур, приведены в таблице, где  $E$  — модули упругости,  $\nu$  — коэффициенты Пуассона,  $\sigma^+$ ,  $\sigma^-$ ,  $\tau$  — пределы прочности при растяжении, сжатии и сдвиге соответственно,  $\psi$  — технические константы демпфирования,  $\alpha$  — коэффициенты линейного расширения,  $\lambda$  — коэффициенты теплопроводности; символами (1), (2) и (12) обозначены свойства в направлении армирования, в поперечном направлении и при сдвиге соответственно.

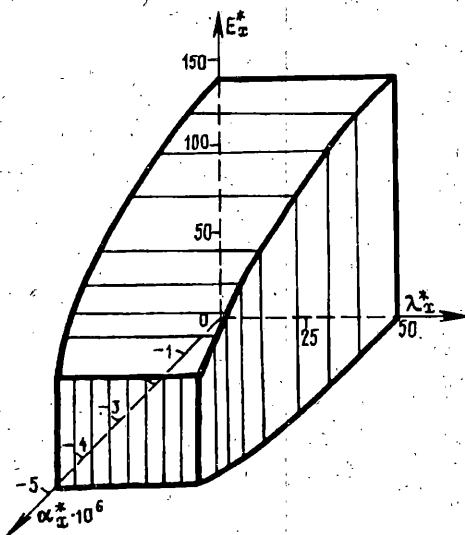
3. Примеры поверхностей предельных возможностей. Ниже рассмотрены несколько типичных поверхностей предельных возможностей композитных структур. Все они относятся к ортотропным структурам класса  $[0_n/90_m/\pm\varphi]$ , то есть в общем случае могут содержать слои, ориентированные в направлении осей ортотропии пакета и перекрестно армированные слои, ориентированные под углом  $\pm\varphi$ . Все слои выполнены из одного и того же материала, свойства которого приведены в таблице. Варьируемыми параметрами являются относительные толщины всех типов слоев и угол  $\varphi$ . Поверхности предельных возможностей строятся в пространстве требований к свойствам структур, что обозначено звездочками у соответствующих характеристик.

Фиг. 4, 5 и 6 иллюстрируют предельные возможности многослойных структур при установлении требований к осевой жесткости пакета  $E_x^*$  [ГПа], осевым коэффициентам линейного расширения  $\alpha_x^*$  [ $K^{-1}$ ] и теплопроводности  $\lambda_x^*$  [Вт/м/К]. Вид поверхностей определяется тем, какие именно требования установлены в каждом случае. Так, фиг. 4 соответствует требованиям максимизации всех трех характеристик, а фиг. 5 — требованиям максимальной жесткости  $E_x^*$  и теплопроводности  $\lambda_x^*$  при минимально возможном коэффициенте  $\alpha_x^*$  (такие пары материалов могут найти применение в различных термочувствительных элементах приборов).

Поверхность, показанная на фиг. 4, ограничена плоскостями при значениях  $E_x^* = 142$  ГПа,  $\lambda_x^* = 50$  Вт/м/К и  $\alpha_x^* = 57,34 \cdot 10^{-6} K^{-1}$ , соответствующих абсолютным экстремумам данных характеристик, и цилиндрической поверхностью с образующей, параллельной оси  $\lambda_x^*$  при  $\lambda_x^* \leq 1,5$  Вт/м/К. Остальная ее часть представляет собой поверхность двойной кривизны, которая с увеличением  $\alpha_x^*$  и  $\lambda_x^*$  переходит в цилиндрическую поверхность с параллельной оси  $E_x^*$  образующей. Область возможных реализаций свойств многослойных структур ограничена дан-



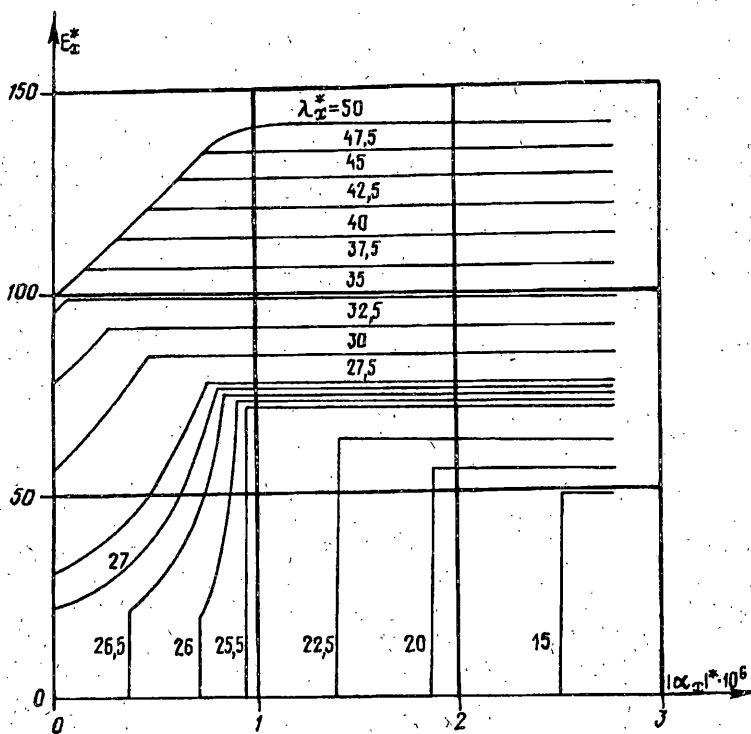
Фиг. 4



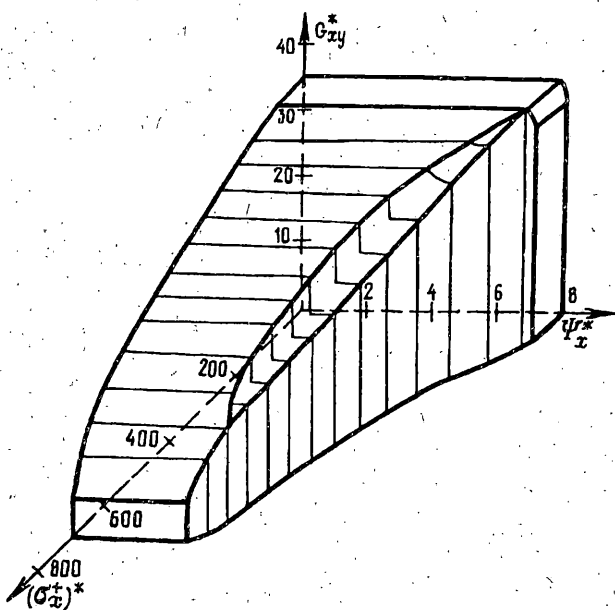
Фиг. 5

ной поверхностью. При каждом фиксированном значении  $\lambda_x^*$  малым величинам  $E_x^*$  и, соответственно, большим  $\alpha_x^*$  отвечают оптимальные структуры класса  $[\pm\varphi_i]$ , большим  $E_x^*$  (и малым  $\alpha_x^*$ ) — структуры  $[0_n/90_m]$ . В промежуточных диапазонах характеристик оптимум достигается на общем классе структур  $[0_n/90_m/\pm\varphi_i]$ . Следует отметить, что, поскольку критерии  $\max E_x$  и  $\max \lambda_x$  не являются конфликтными, для одномерных структур ( $[0_n/90_m]$  или  $[\pm\varphi_i]$ ) активен в каждом случае только один из них. Для структур общего вида с тремя независимыми варьируемыми параметрами, как правило, активны все три критерия.

Поверхность, показанная на фиг. 5, значительно проще. Она также ограничена плоскостями при значениях  $E_x^* = 142$  ГПа,  $\lambda_x^* = 50$  Вт/м/К и  $\alpha_x^* = -1,12 \cdot 10^{-6}$  К<sup>-1</sup>, соответствующих абсолютным экстремумам данных характеристик. Остальная ее часть образована пересечением двух цилиндрических поверхностей с образующими, параллельными осям  $\lambda_x^*$  и  $E_x^*$ . Область возможных реализаций



Фиг. 6



Фиг. 7

свойств многослойных структур ограничена данной поверхностью. В данном случае оптимальные структуры всегда соответствуют классу  $[\pm\varphi]$ , причем критерии  $\max E_x$  и  $\max \lambda_x$  не являются конфликтными во всем диапазоне изменения характеристик, а критерий  $\min \alpha_x$  в каждом случае конфликтен с одним из них.

Качественно отлична от рассмотренных фиг. 6, на которой обозначения  $E_x^*$ ,  $\lambda_x^*$  и  $|\alpha_x|^*$  соответствуют критериям  $\max E_x$ ,  $\min \lambda_x$  и  $\min |\alpha_x|$  (такие задачи возникают при проектировании термостабильных структур). Поверхность предельных возможностей представлена здесь линиями уровней, соответствующими различным  $\lambda_x^*$ . Поверхность состоит из трех характерных участков, соответствующих  $\lambda_x^* < 25,6$ ;  $25,6 < \lambda_x^* > 35$  и  $\lambda_x^* > 35$  Вт/м/К. На первом участке поверхность образована пересечением двух цилиндрических поверхностей, образующая одной из которых параллельна оси  $E_x^*$ , а другой — оси  $|\alpha_x|^*$ . Линия пересечения этих поверхностей начинается в точке, соответствующей значениям  $\lambda_x^* = 25,6$  Вт/м/К,  $|\alpha_x|^* = 0,9 \cdot 10^{-6}$  К<sup>-1</sup> и  $E_x^* = 7$  ГПа, и превращается в параллельную оси  $|\alpha_x|^*$  прямую при значениях  $\lambda_x^* = 1,5$  Вт/м/К,  $E_x^* = 4$  ГПа, соответствующих одностороннему материалу. Оптимальные структуры первого участка —  $[0_n/90_m]$ .

На втором участке поверхности предельных возможностей оптимальные структуры  $[0_n/90_m]$  соответствуют максимальным величинам модуля упругости для каждого  $\lambda_x^*$  (горизонтальные линии на фиг. 6). Наклонные линии в левой нижней части рисунка соответствуют оптимальным структурам общего вида  $[0_n/90_m/\pm\varphi]$ . Низшие точки кривых при  $\lambda_x^* = 27$ ;  $26,5$  и  $26$  Вт/м/К соответствуют оптимальным структурам  $[\pm\varphi]$ .

Третий участок поверхности предельных возможностей при  $E_x^* > 100$  ГПа или  $\lambda_x^* > 35$  Вт/м/К (верхняя часть фиг. 6) соответствует оптимальным решениям, достигаемым на классе структур  $[0_n/90_m]$ . Зона малых значений  $|\alpha_x|^*$  представляет собой цилиндрическую поверхность, образующая которой параллельна оси  $\lambda_x^*$ , причем в этой зоне совпадают оптимальные значения  $|\alpha_x|^*$  и  $E_x^*$  для любых  $\lambda_x^*$ . Это объясняется тем фактом, что оптимальные структуры в этой зоне имеют отрицательное значение  $\alpha_x$  и, таким образом, критерии  $\min \lambda_x$  и  $\min |\alpha_x|$  не являются конфликтными.

В зоне больших  $|\alpha_x|^*$  как на втором, так и на третьем участках поверхность предельных возможностей представляет собой цилиндрическую поверхность, образующая которой параллельна оси  $|\alpha_x|^*$ . При  $\lambda_x^* \geq 50$  Вт/м/К (т. е., когда не накладывается никаких требований на  $\lambda_x$ ) она превращается в цилиндрическую поверхность, образующая которой параллельна оси  $\lambda_x^*$ .

Фиг. 7 иллюстрирует предельные возможности многослойных структур при установлении требований максимизации прочности при осевом растяжении  $\sigma_{+x}^*$  [МПа] (по первому разрушению структуры), сдвиговой жесткости пакета  $G_{xy}^*$  [ГПа] и осевого коэффициента демпфирования  $\psi_x^*$  [%]. Поверхность предельных возможностей состоит из цилиндрических участков, соответствующих решениям для максимального коэффициента демпфирования и максимального модуля сдвига; первому из этих участков соответствуют оптимальные структуры  $[\pm\varphi]$ , второму —  $[90_m/\pm\varphi]$  или  $[0_n/\pm\varphi]$ . Поскольку для этих классов структур при  $\sigma_{+x}^* > 200$  МПа критерии  $\max G_{xy}$  и  $\max \psi_x$  не являются конфликтными, в данном диапазоне не удается найти структуры с промежуточными значениями свойств.

## СПИСОК ЛИТЕРАТУРЫ

1. Алфутов Н. А., Зиновьев П. А., Попов Б. Г. Расчет многослойных пластин и оболочек из композиционных материалов. М.: Машиностроение, 1984. 264 с.
2. Борисов В. И. Проблемы векторной оптимизации//Исследование операций. М.: Наука, 1972. С. 72—91.
3. Нарусберг В. Л., Тетерс Г. А. Устойчивость и оптимизация оболочек из композитов. Рига: Зинатне, 1983. 298 с.
4. Амбарцумян С. А. Общая теория анизотропных оболочек. М.: Наука, 1974. 448 с.
5. Васильев В. В. Механика конструкций из композиционных материалов.—М.: Машиностроение, 1988. 272 с.
6. Van Фы Г. А. Теория армированных материалов. Киев: Наукова думка, 1971. 232 с.
7. Зиновьев П. А., Ермаков Ю. Н. Анизотропия диссипативных свойств волокнистых композитов//Механика композитных материалов. 1985. № 5. С. 816—825.
8. Образцов И. Ф., Васильев В. В., Бунаков В. А. Оптимальное армирование оболочек вращения из композиционных материалов. М.: Машиностроение, 1977. 144 с.

Москва

Поступила в редакцию  
8.XI.1993